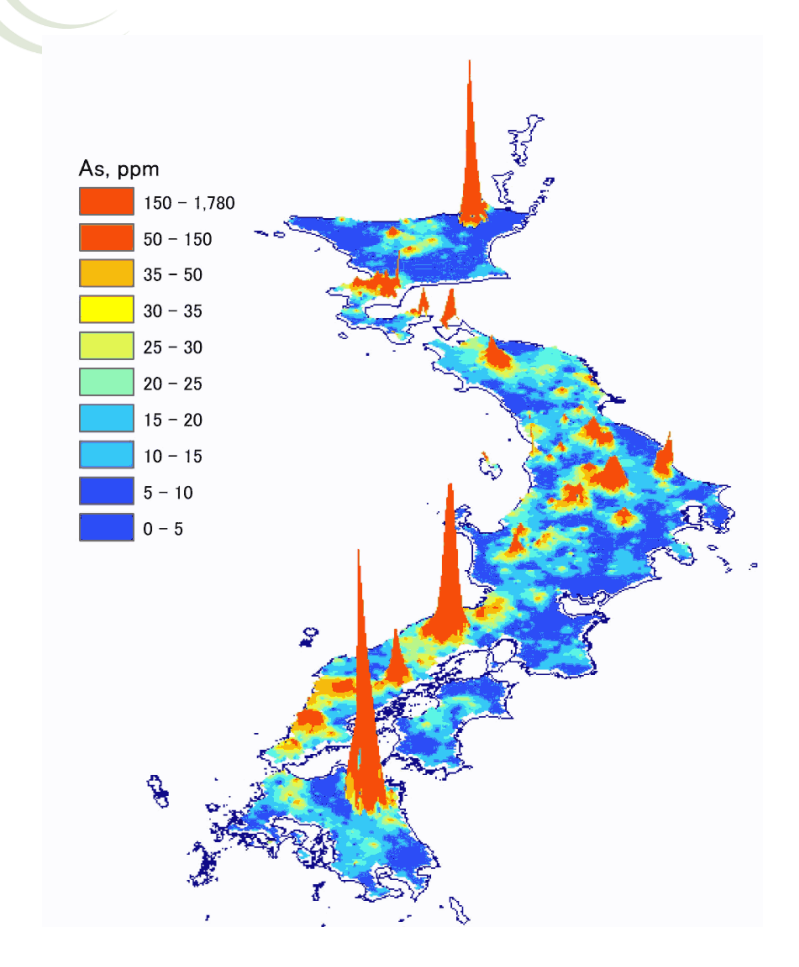


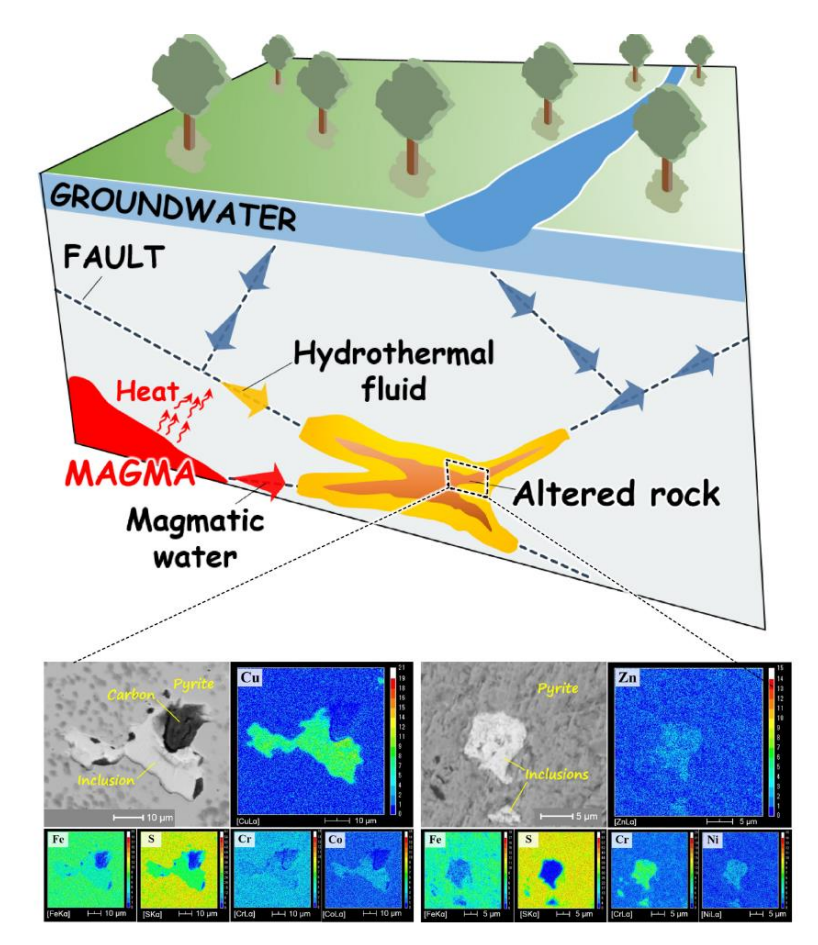
ハイパースペクトルイメージングを用いた 汚染土壌判定に関する研究

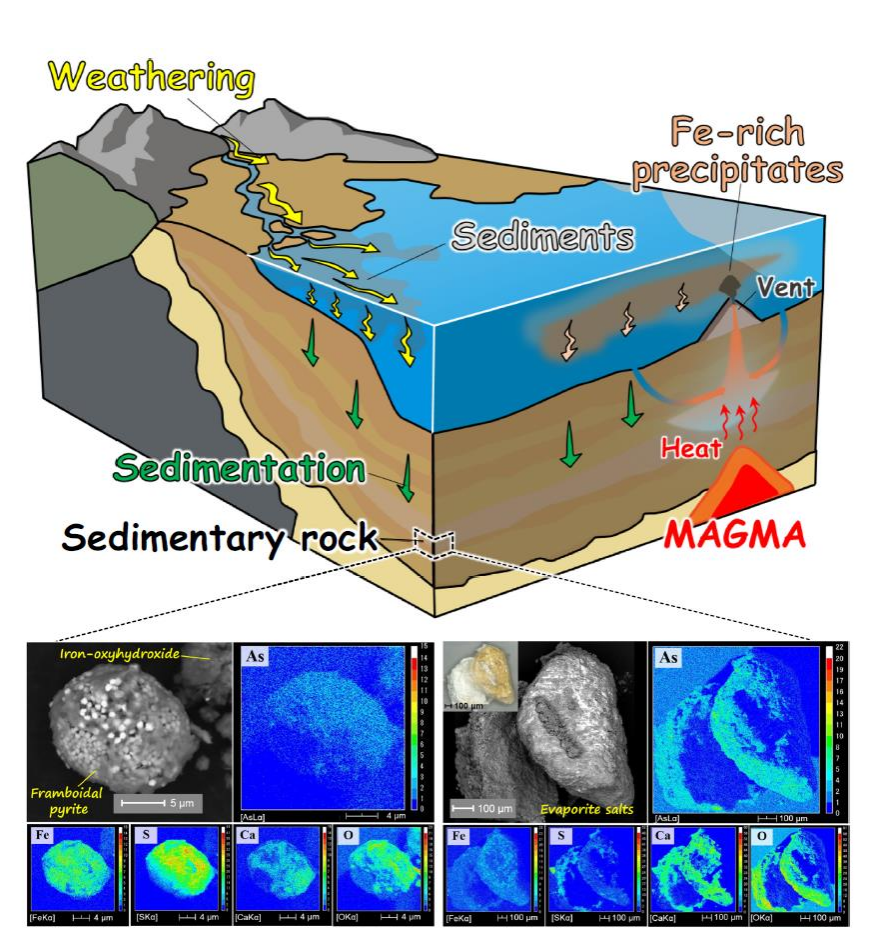
第25回JICE研究開発助成成果報告会 2025年6月6日 北海道大学大学院工学研究院

環境循環システム部門 助教 有馬 孝彦

■ 砒素(Arsenic: As)等の自然由来重金属等を含む土壌・岩石







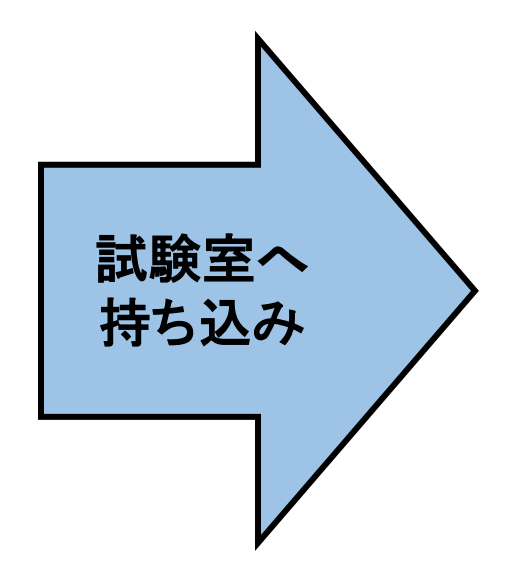
https://www.gsj.jp/researches/topics/geochemmap.htmlc

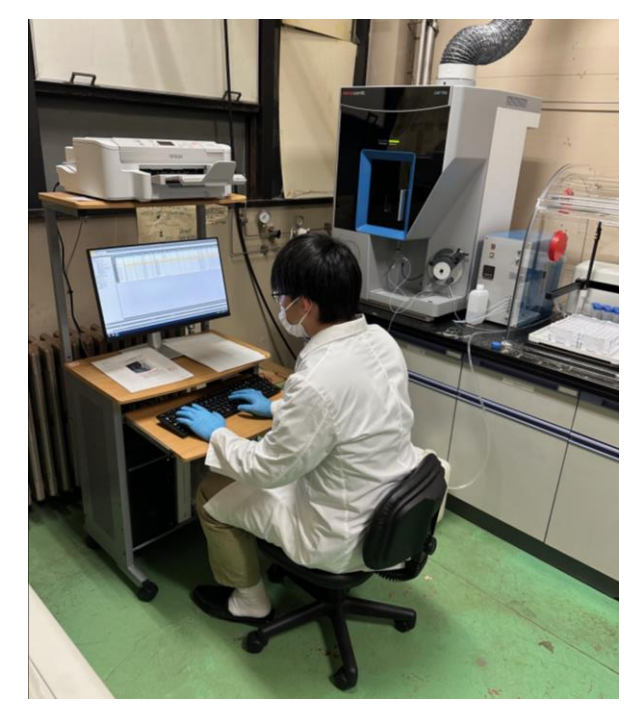
Tabelin et al., Science of the total Environment2018



■ 自然由来重金属等を含有する土壌等の判定方法





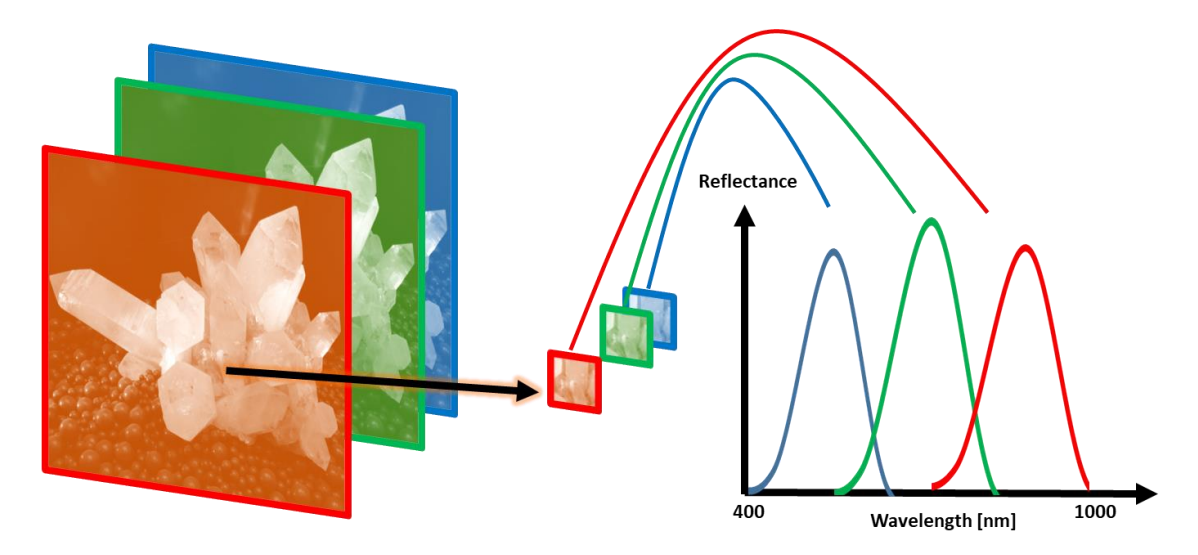


試験室で分析:1-2週間必要

- 合理的な対策手法の構築: 遮水シート, 不溶化処理, 吸着層工法の代替案
- 迅速な分析手法の開発:掘削・即時判定を可能とするシステム開発

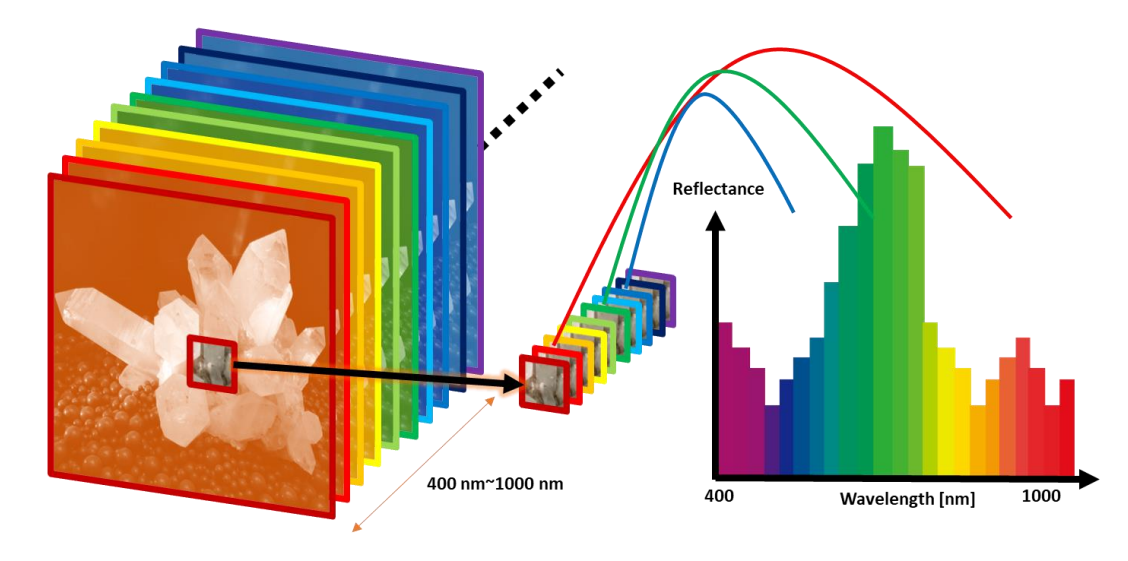
■ハイパースペクトルイメージング





RGB Imaging





Hyperspectral Imaging

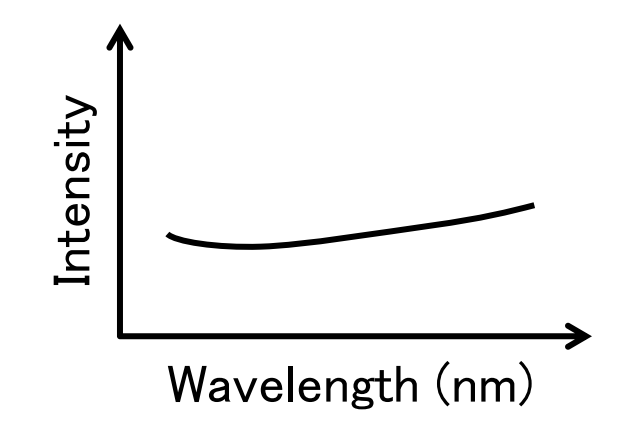


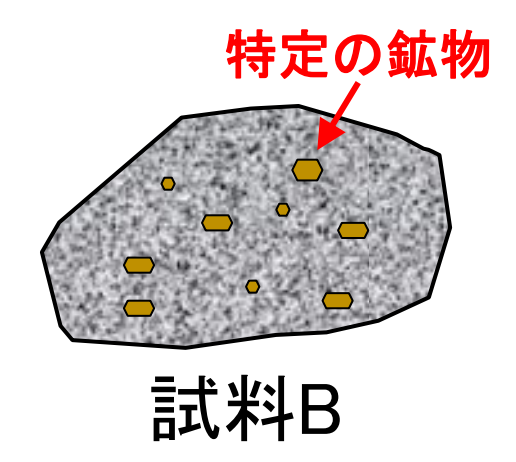
■ ハイパースペクトルイメージングの活用方法

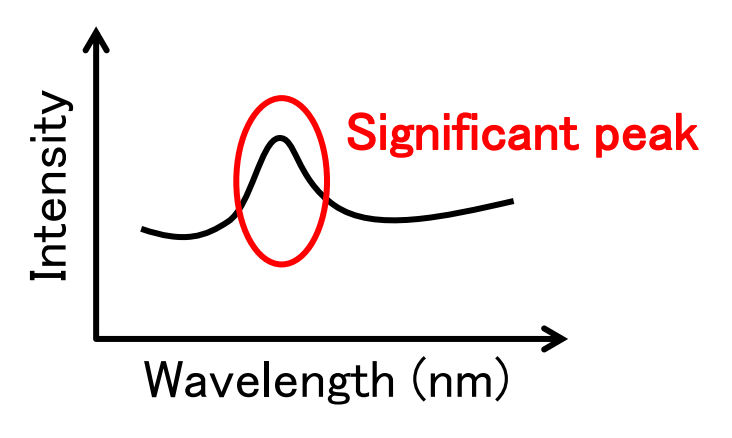




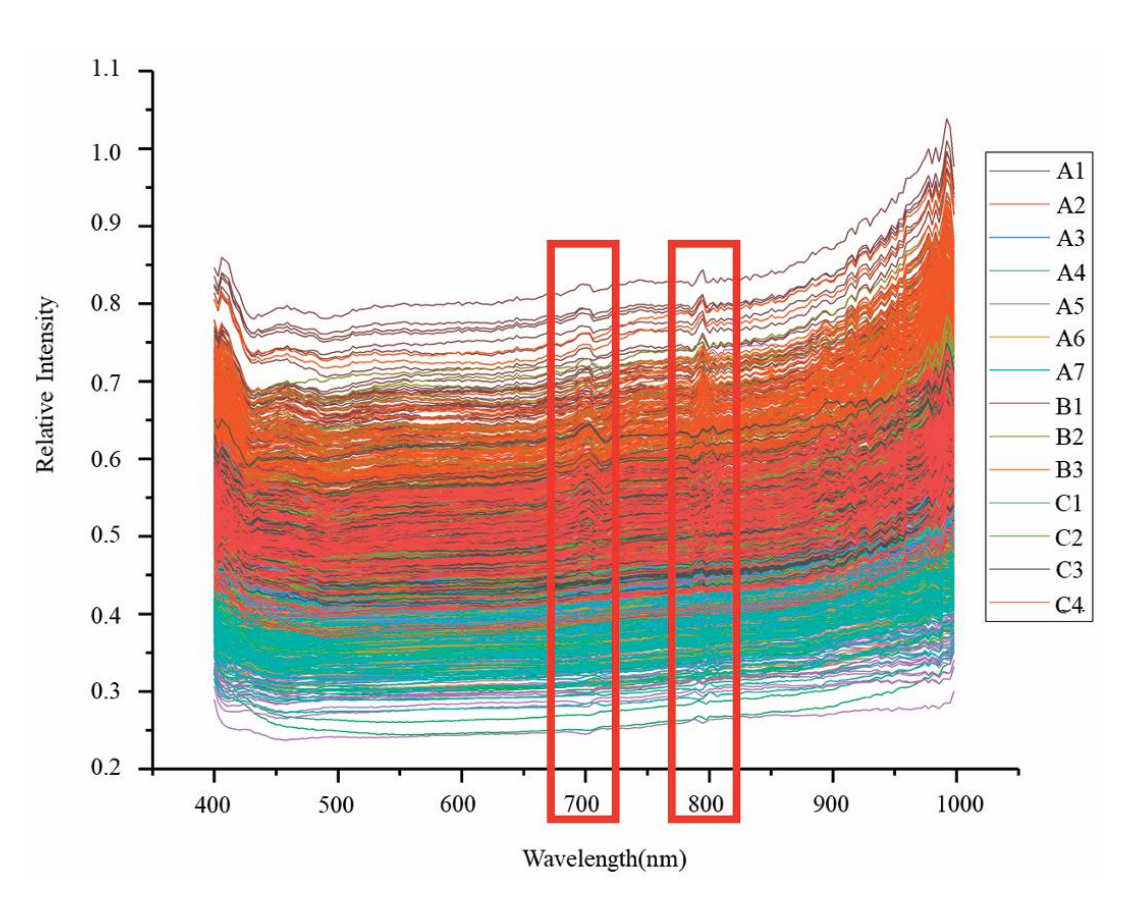








■ ハイパースペクトルイメージングの活用方法(鉱石の分類事例)



試料A1-A7: 砒素 • 銅 含有量 高

試料B1-B3: 砒素 • 銅 含有量 中

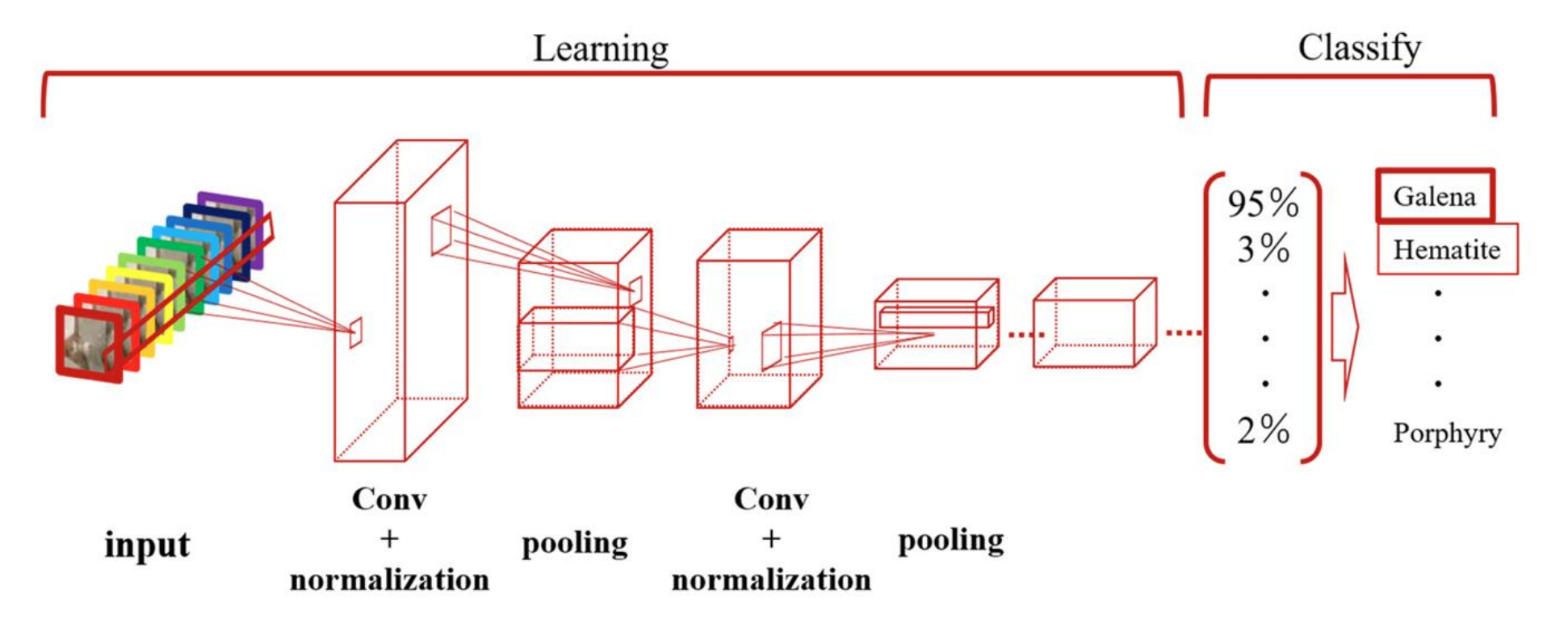
試料C1-C4: 砒素 • 銅 含有量 低

砒素・銅の含有量が高い試料には特定の 波長に顕著な変化が認められる。

Okada et al., MMIJ 2021



■ ハイパースペクトルイメージングのテータ解析: CNN(畳み込みニューラルネットワーク)



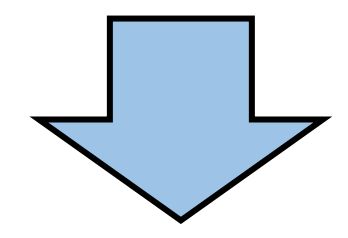
Okada et al., Minerals 2020

- CNNによって,情報量の多いハイパースペクトルイメージングとAs濃度の相関性を評価
- ・未知のAs濃度に対して、ハイパースペクトルイメージングを用いてAs濃度を予測



■本研究の目的

現場で迅速かつ精確に汚染土壌を判定する手法を構築したい。



ハイパースペクトルイメージングと深層学習を併用して、 汚染土壌のAs濃度を推定するモデルを作成

■本研究の流れ

- 1. 試験試料の地球化学的特性の評価(溶出量試験・逐次抽出試験・SEM-EDX)
- 2. ハイパースペクトルイメージングの取得(ハイパースペクトルカメラを使用)
- 3. ハイパースペクトルイメージングからAs濃度を予測するための機械学習モデルの構築
- 4. 機械学習モデルの性能評価

■ 研究に用いた試料



凝灰角礫岩: Tb



安山岩: An

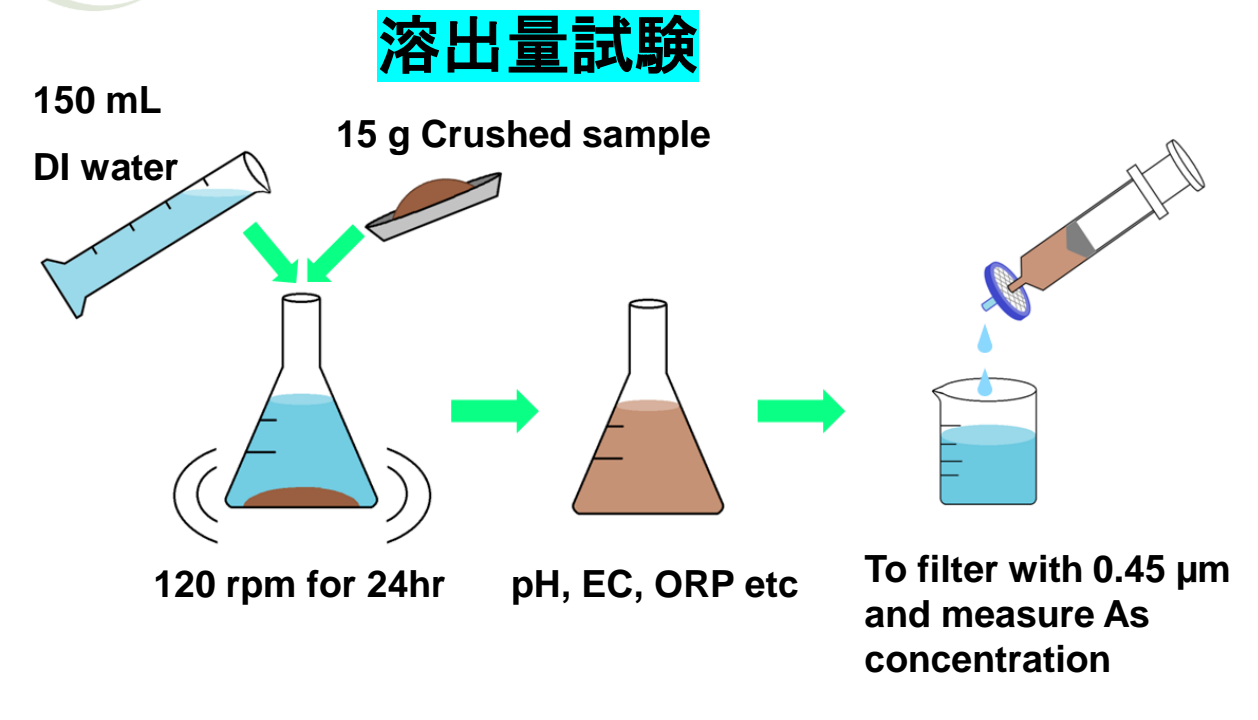


泥岩: Ms

• 21 試料: 凝灰角礫岩 (7試料), 安山岩 (7試料), 泥岩 (7試料)

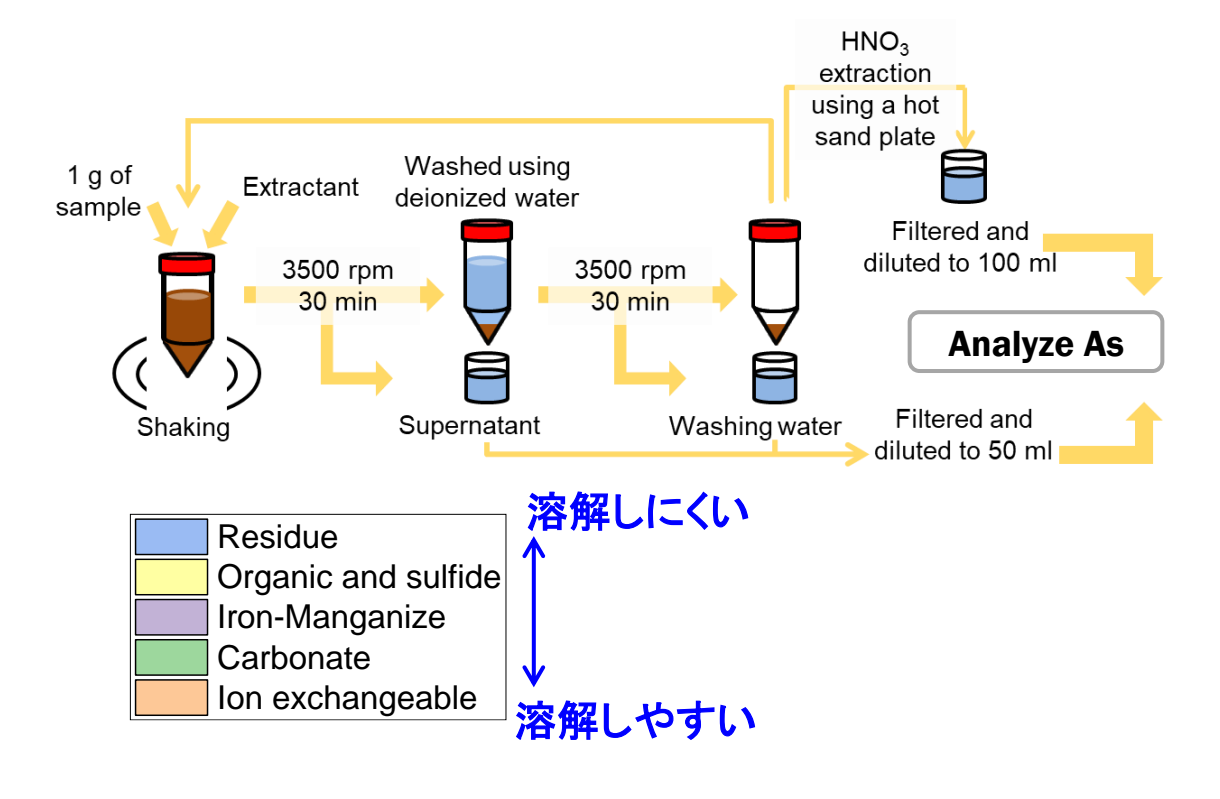
• 研究対象は砒素: As

■ 試験方法:溶出量試験·逐次抽出試験



Asの溶出量を評価 (溶出量基準値:10µg/L)

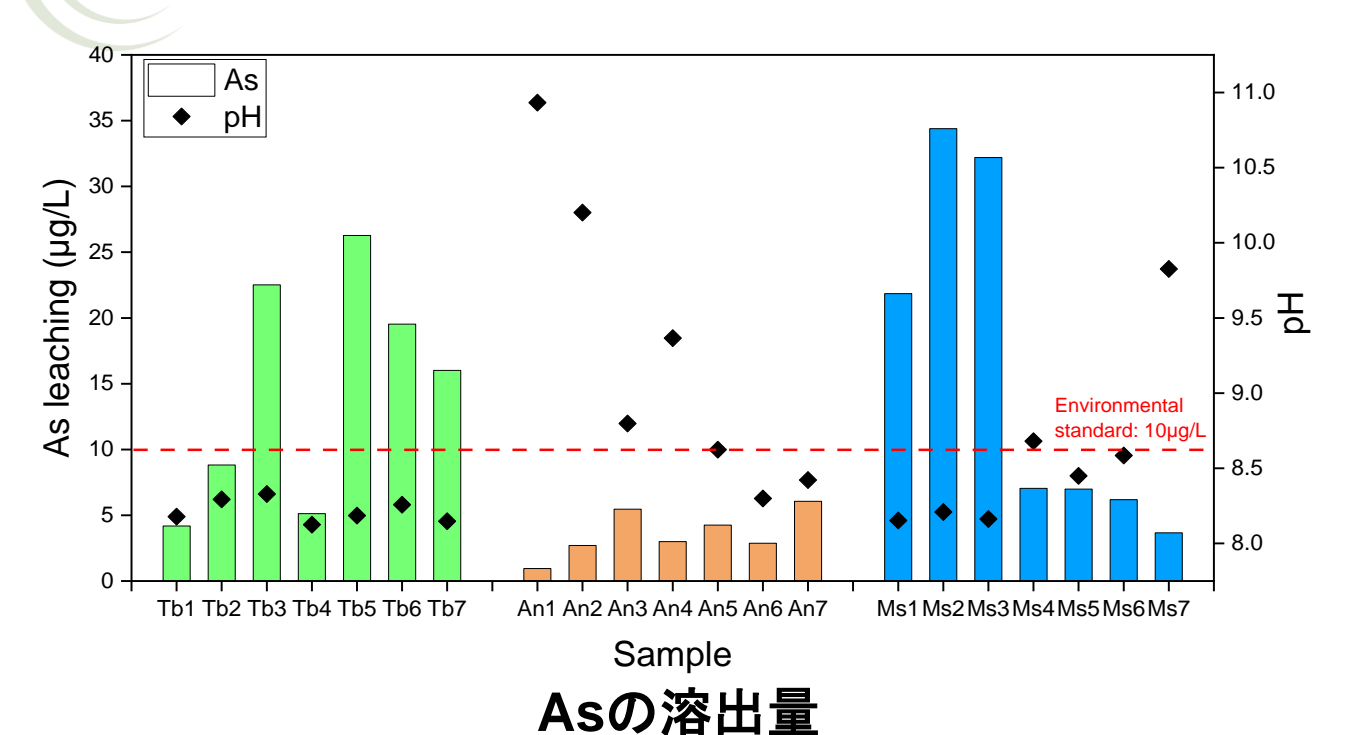
逐次抽出試験



試料のAs分画およびAs総量(含有量)を評価

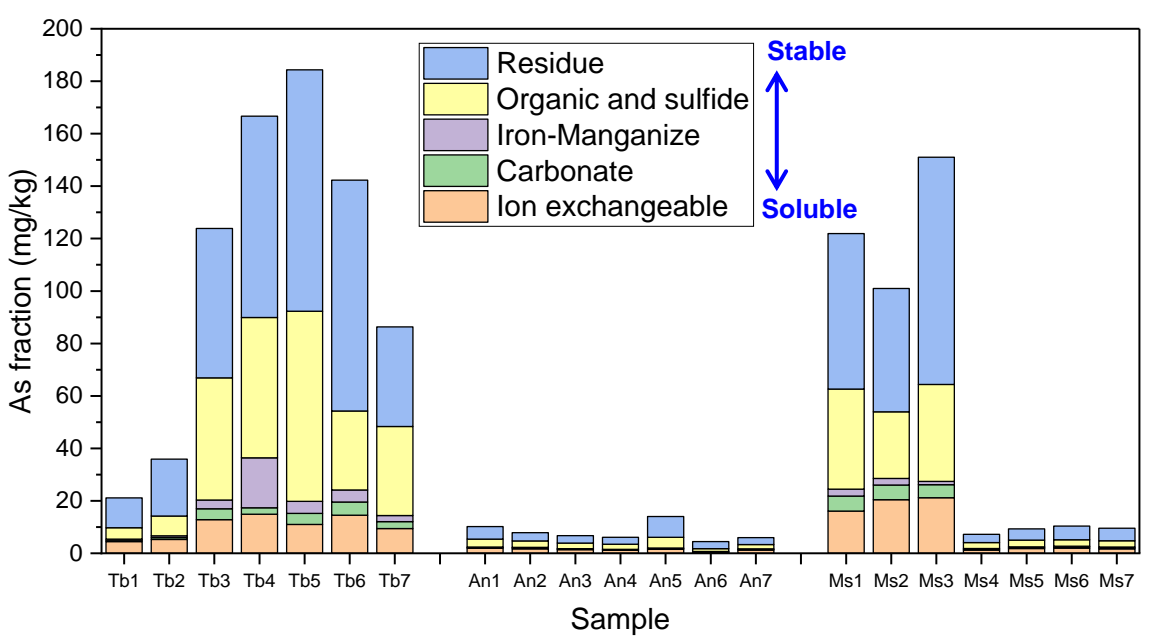


■ 試験結果:溶出量試験·逐次抽出試験



Tb:凝灰角礫岩

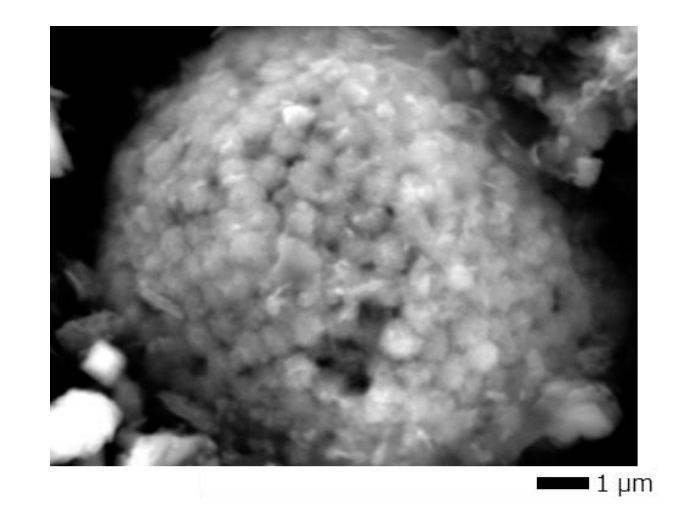
An:安山岩 Ms:泥岩



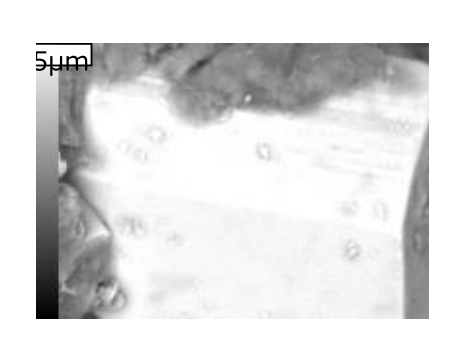
Asの分画および総量(含有量)

- As溶出量: Tb:5.1~26 μg/L, An:0.9~6.1 μg/L, Ms:3.6~34 μg/L
- As含有量: Tb:21~184 mg/kg, An:4.5~14 mg/kg, Ms:7.2~151 mg/kg
- As分画: 難溶態>硫化物態>イオン交換態の順で多く含まれていた。

■ 試験結果:SEM-EDXによるAsの胚胎状況



泥岩中に含まれる フランボイダル黄鉄鉱



S-K Fe-K

凝灰角礫岩中に含まれる 結晶状の黄鉄鉱

Ion exchangeable fraction (Fe oxide/oxyhydroxide) As As Sulfide fraction (pyrite)

サンプル中に含まれる Asの分布イメージ

■ 試験方法:ハイパースペクトルイメージング取得



撮影実施状況



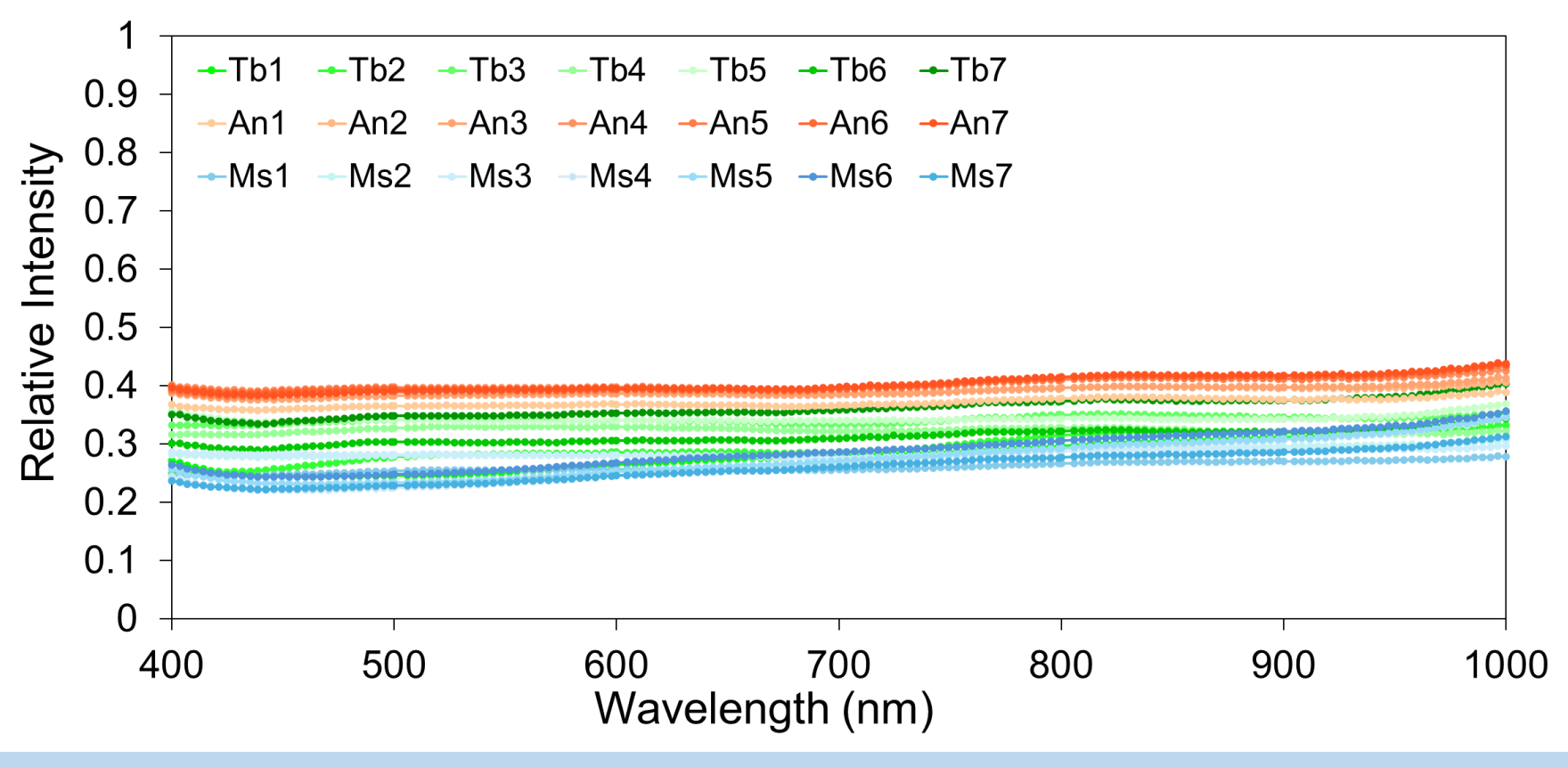
ハイパースペクトルカメラ: Specim IQ

• 撮影対象波長: 400~1,000 nm

・ バンド数:204

・ 撮影は暗所+ハロゲンによる光源管理下で実施

■ 試験結果:ハイパースペクトルイメージング



Tb:凝灰角礫岩

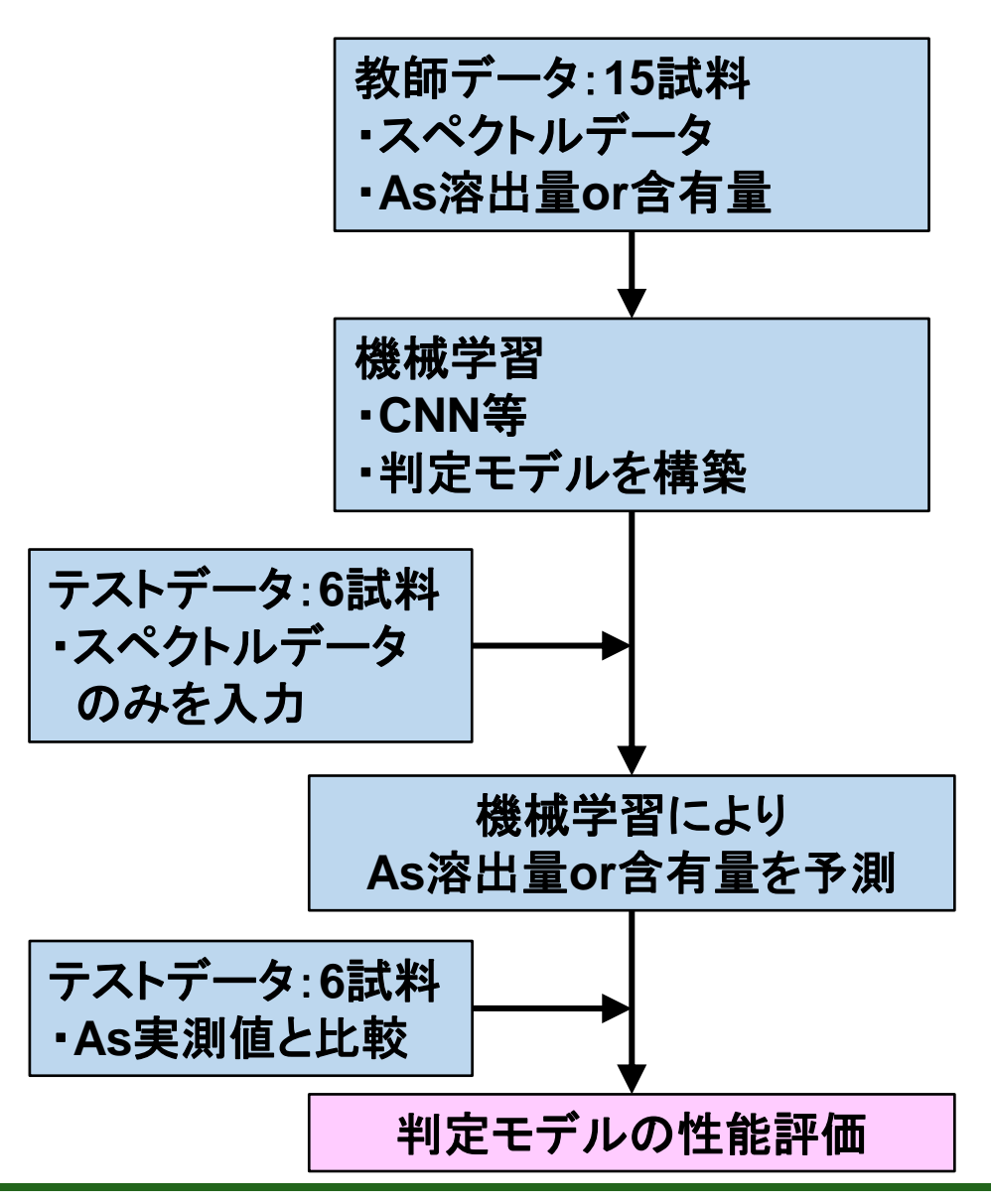
An:安山岩

Ms:泥岩

- スペクトルの特徴に明瞭な相違は認められなかった。
- 460-600 nm, 670-780 nm, 860-950 nm 帯に若干の相違が確認された。

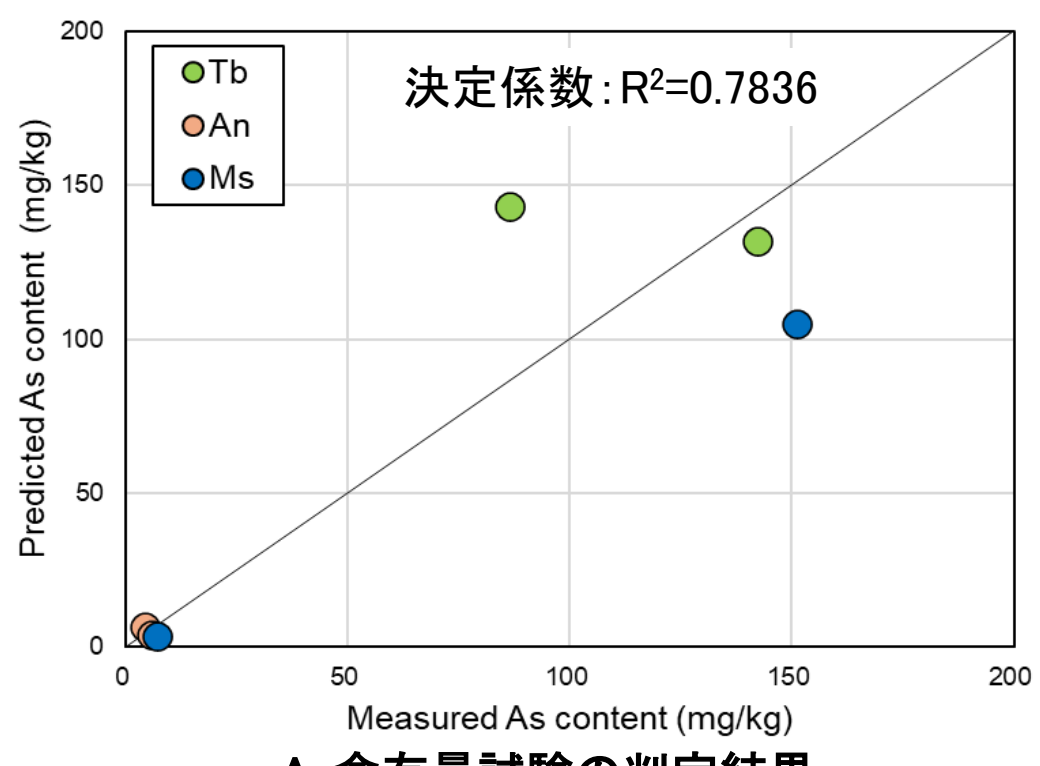
■ 機械学習

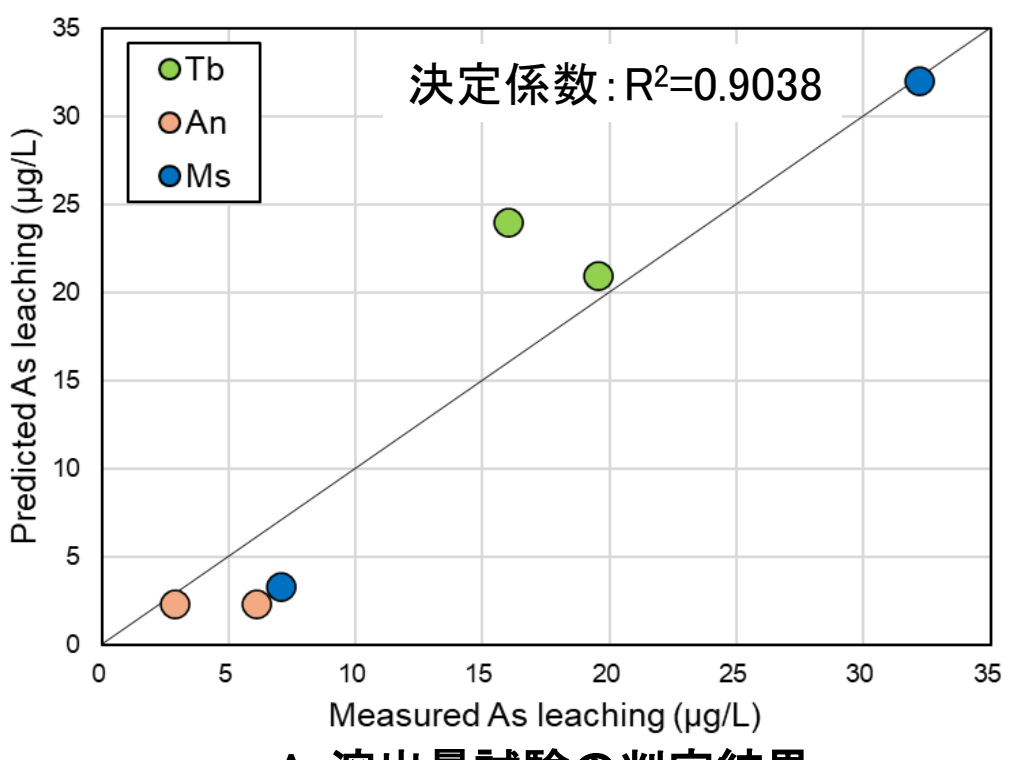
- ・ 機械学習にはMATLAB(Math Works社製)を使用
- ・ 教師データ: 15試料として機械学習を実施
- インプットデータとしてスペクトルデータとAs溶出量(またはAs 含有量)を使用
- 機械学習モデルとして、線形回帰・アンサンブル法・決定木・ ニューラルネットワーク(CNN)等を実施
- ・ 判定精度が最も優れたCNNを最終的な判定モデルとして使用
- ・ 判定モデルでは、テストデータ:6試料を対象に実施





■ 機械学習:判定モテルによるテストテータ(6試料)のAs含有量・溶出量の判定結果





As含有量試験の判定結果

As溶出量試験の判定結果

- As含有量:高含有量帯(86-151 mg/kg)と低含有量帯(4.5-7.2 mg/kg)の大まかな区分はできたが, 測定値と推定値 には相違が認められた。
- ・ As溶出量:テストデータの測定値(2.8-32 µg/L)に対して,若干の相違はあるが,ある程度の判定精度が確認された。



■ 研究成果のまとめと今後の展望

- 機械学習によるAs含有量および溶出量の判定モデルは、溶出量の判定については 一定の判定精度が得られた。これは、溶出量試験により溶出するAsが、主にイオン 交換態を起源とし、イオン交換態と関係性のある岩石中の組成(AIやFe等のAsの吸 着に寄与する成分)がスペクトルデータとリンクしたため</u>と推察される。
- 今後は、判定モデル構築に用いる教師データおよび判定モデルの精度を評価するための<u>テストデータ数を増やす</u>とともに、上記の推察にも述べたAsの吸着に寄与するAIやFeおよび黄鉄鉱等の難溶態のAsを胚胎する鉱物とハイパースペクトルデータとの相関性を評価する。さらに、<u>多様な岩相への適用性を検証</u>する。

ご清聴ありがとうございました。

本研究は、一般財団法人国土技術研究センターによる研究助成を受けて実施されました。ここに記して、同センターのご支援に深く感謝申し上げます。